

4

Transição entre Guias de Onda Superquadráticos

Este capítulo é dedicado ao estudo da matriz de espalhamento de descontinuidades em guias de onda superquadráticos através do método do casamento de modos [21].

Os campos modais em guias de onda superquadráticos foram determinados no Capítulo 3 utilizando o método variacional de Rayleigh-Ritz com funções de base trigonométricas. A aplicação deste tipo de função de base apresenta duas vantagens ao cômputo da matriz de espalhamento:

1. Permite computar um grande número de modos no guia;
2. Reduz o tempo de execução do programa, visto que a integração dupla inerente ao método do casamento de modos é resolvida analiticamente em uma das dimensões.

O estudo dos guias de onda superquadráticos resulta em um eficiente algoritmo que pode ser aplicado à análise e projeto de diversos dispositivos de microondas como, por exemplo, transições entre guias de diferentes seções.

Uma breve discussão do método do Casamento de Modos será apresentada a seguir.

4.1.

O Método do Casamento de Modos

Seja uma descontinuidade entre dois guias de onda mostrada na figura 4.1. A região à esquerda da descontinuidade, será denominada região I, seção S_I , e a região à direita, região II, seção S_{II} . Considera-se S_I contida em S_{II} .

O procedimento para determinação da matriz de espalhamento da descontinuidade é apresentado em [21], e será detalhado abaixo.

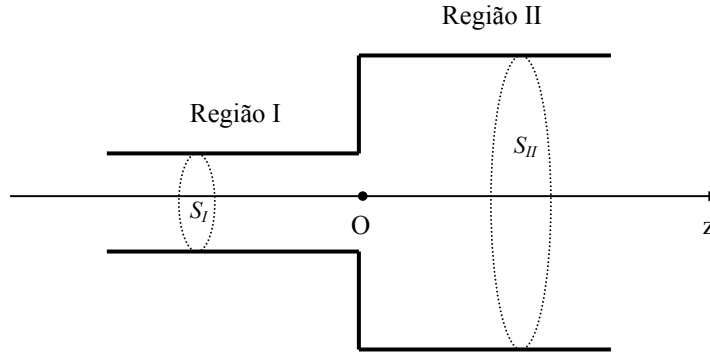


Figura 4.1 – Seção longitudinal de uma descontinuidade entre guias.

Uma onda eletromagnética, composta por um somatório de modos TE e TM, com amplitudes conhecidas, incide na estrutura através da região I ou da II, propagando-se ao longo do eixo dos z , e incidindo na descontinuidade. Deseja-se determinar os campos espalhados (refletidos e transmitidos).

Os campos elétricos e magnéticos transversais, nas regiões I e II, em $z = 0^-$ e $z = 0^+$, serão expressos através de suas expansões modais:

$$\vec{E}_I = \sum_{j=1}^J (A_{jI} + B_{jI}) \vec{e}_{jI} \quad (4.1a)$$

$$\vec{H}_I = \sum_{j=1}^J (A_{jI} - B_{jI}) \vec{h}_{jI} \quad (4.1b)$$

$$\vec{E}_{II} = \sum_{i=1}^I (A_{iII} + B_{iII}) \vec{e}_{iII} \quad (4.2a)$$

$$\vec{H}_{II} = \sum_{i=1}^I (A_{iII} - B_{iII}) \vec{h}_{iII} \quad (4.2b)$$

onde os índices j e i estão associados aos pares ordenados (m_1, n_1) e (m_2, n_2) , que caracterizam os modos $(TE/TM)_{m_1 n_1}$ e $(TE/TM)_{m_2 n_2}$, nas regiões I e II, respectivamente. \vec{e}_{jI} , \vec{h}_{jI} , \vec{e}_{iII} , e \vec{h}_{iII} são as componentes transversais dos campos modais nas regiões I e II; A_{jI} e A_{iII} , são as amplitudes dos campos incidentes e B_{jI} e B_{iII} são as amplitudes dos campos espalhados.

As condições de contorno em $z = 0$ (continuidade dos campos elétrico e magnético transversais) impõem:

$$\text{Para pontos no interior de } S_I \left\{ \begin{array}{l} \vec{E}_I = \vec{E}_{II} \\ \vec{H}_I = \vec{H}_{II} \end{array} \right. \quad (4.3a)$$

$$(4.3b)$$

$$\text{Para pontos no interior de } S_{II} - S_I \left\{ \begin{array}{l} \vec{E}_I = \vec{E}_{II} = 0 \\ \vec{H}_I = 0 \end{array} \right. \quad (4.4a)$$

$$(4.4b)$$

Combinando-se as equações (4.1), (4.2), (4.3) e (4.4) resulta:

- Para pontos no interior de S_I :

$$\sum_{j=1}^J (A_{jI} + B_{jI}) \vec{e}_{jI} = \sum_{i=1}^I (A_{iII} + B_{iII}) \vec{e}_{iII} \quad (4.5a)$$

$$\sum_{j=1}^J (A_{jI} - B_{jI}) \vec{h}_{jI} = \sum_{i=1}^I (B_{iII} - A_{iII}) \vec{h}_{iII} \quad (4.5b)$$

- Para pontos no interior de $S_{II} - S_I$:

$$\vec{e}_{jI} = \sum_{i=1}^I (A_{iII} + B_{iII}) \vec{e}_{iII} = 0 \quad (4.6a)$$

$$\vec{h}_{jI} = \sum_{i=1}^I (B_{iII} - A_{iII}) \vec{h}_{iII} = 0 \quad (4.6b)$$

Multiplicando-se vetorialmente ambos os membros de (4.5a) e (4.6a) por \vec{h}_{iII} , $i = 1, 2, \dots, I$, integrando-se sobre a superfície S_{II} , e lembrando-se que:

$$\int_{S_{II}} \vec{e}_{i1_{II}} \times \vec{h}_{i2_{II}} \cdot d\vec{s} = 0, \text{ se } i_1 \neq i_2 \text{ (propriedade de ortogonalidade dos modos),}$$

obtem-se:

$$\sum_{j=1}^J p_{ij} (A_{jI} + B_{jI}) = q_{ii} (A_{iII} + B_{iII}) \quad (4.7)$$

$$i = 1, 2, \dots, I$$

onde,

$$p_{ij} = \int_{S_I} \vec{e}_{jI} \times \vec{h}_{iI} \cdot d\vec{s} \quad (4.8)$$

$$q_{ii} = \int_{S_{II}} \vec{e}_{iII} \times \vec{h}_{iII} \cdot d\vec{s} \quad (4.9)$$

De forma análoga, multiplicando-se vetorialmente ambos os membros de (4.5b) e (4.6b) por \vec{e}_{jI} , $j = 1, 2, \dots, J$, e integrando-se sobre a superfície S_I , tem-se:

$$\sum_{i=1}^I (A_{iII} - B_{iII}) p_{ij} = r_{jj} (B_{jI} - A_{jI}) \quad (4.10)$$

$$j = 1, 2, \dots, J$$

onde,

$$r_{jj} = \int_{S_I} \vec{e}_{jI} \times \vec{h}_{jI} \cdot d\vec{s} \quad (4.11)$$

As equações (4.7) e (4.10) formam um sistema de $J+I$ equações com $J+I$ incógnitas, que sob a forma matricial é expresso por:

$$[P] \{ [A_I] + [B_I] \} = [Q] \{ [A_{II}] + [B_{II}] \} \quad (4.12a)$$

$$[P]^T \{ [B_{II}] - [A_{II}] \} = [R] \{ [A_I] - [B_I] \} \quad (4.12b)$$

onde,

- $[A_I]$ e $[B_I]$ são matrizes colunas $J \times I$ contendo os coeficientes A_{jI} e B_{jI} ;
- $[A_{II}]$ e $[B_{II}]$ são matrizes colunas $I \times I$ contendo os coeficientes A_{iII} e B_{iII} ;
- $[P]$ é uma matriz $I \times J$, com elementos p_{ij} definidos em (4.8);
- $[Q]$ é uma matriz diagonal $I \times I$, com elementos q_{ii} definidos em (4.9);
- $[R]$ é uma matriz diagonal $J \times J$, com elementos r_{jj} definidos em (4.11).

O sistema definido em (4.12) pode ser reescrito sob a forma:

$$[P][B_I] - [Q][B_{II}] = -[P][A_I] \quad (4.13a)$$

$$[R][B_I] + [P]^T [B_{II}] = [R][A_I] \quad (4.13b)$$

que resolvido resulta em:

$$[B] = [S][A] \quad (4.14)$$

onde,

$$[B] = \begin{bmatrix} [B_I] \\ [B_{II}] \end{bmatrix}, [A] = \begin{bmatrix} [A_I] \\ [A_{II}] \end{bmatrix} \text{ e } [S] = \begin{bmatrix} [S_{11}] & [S_{12}] \\ [S_{21}] & [S_{22}] \end{bmatrix}$$

sendo $[S]$ a matriz de espalhamento desejada.

Após manipulações algébricas nas equações (4.13a) e (4.13b), obtém-se:

$$[S_{11}] = \left\{ [R] + [P]^T [Q]^{-1} [P] \right\}^{-1} \left\{ [R] - [P]^T [Q]^{-1} [P] \right\} \quad (4.15a)$$

$$[S_{12}] = 2 \left\{ [R] + [P]^T [Q]^{-1} [P] \right\}^{-1} [P]^T \quad (4.15b)$$

$$[S_{21}] = 2 \left\{ [Q] + [P][R]^{-1} [P]^T \right\}^{-1} [P] \quad (4.15c)$$

$$[S_{22}] = - \left\{ [Q] + [P][R]^{-1} [P]^T \right\}^{-1} \left\{ [Q] - [P][R]^{-1} [P]^T \right\} \quad (4.15d)$$

Dessa forma, para o cálculo da matriz $[S]$ basta que se determinem os elementos das matrizes $[R]$, $[Q]$ e $[P]$, e se aplique às expressões (4.15a) a (4.15d).

4.2.

Obtenção das Matrizes $[P]$, $[Q]$ e $[R]$

Nesta seção serão calculados os elementos das matrizes $[P]$, $[Q]$ e $[R]$, para o caso em que os guias das regiões I e II são superquadráticos, como representado na figura 4.2.

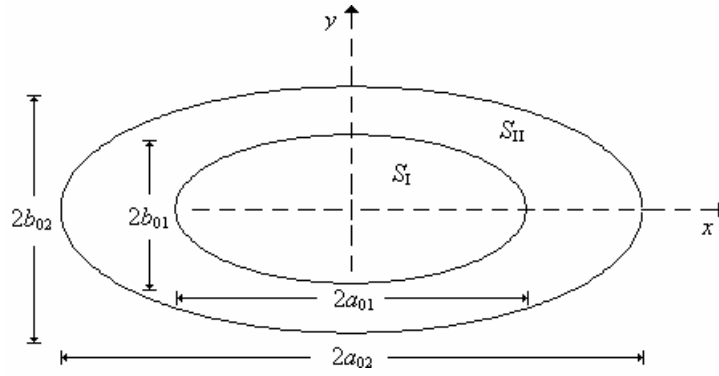


Figura 4.2 – Seção transversal de uma descontinuidade entre guias de onda superquadráticos e sistema de coordenadas utilizado.

4.2.1. Determinação dos Campos Modais

As expressões para os campos modais nas regiões I e II, a serem utilizadas no cálculo das matrizes $[R]$, $[Q]$ e $[P]$, são obtidas através dos potenciais vetores elétrico e magnético.

Para a região I, os potenciais vetores elétrico e magnético, ψ_{jl}^{TE} e ψ_{jl}^{TM} , que são obtidos a partir das equações (3.3) e (3.7), respectivamente, são dados por:

$$\psi_{jl}^{TE} = \sum_{m_1=1}^{M_{max}} \sum_{n_1=0}^{N_{max}} C_{m_1 n_1}^{TE_{jl}} \operatorname{sen}\left(\frac{m_1 \pi x}{2a_1}\right) \cos\left(\frac{n_1 \pi y}{2b_1}\right) e^{-j\beta_{jl}^{TE} z} \quad (4.16a)$$

$$\psi_{jl}^{TM} = \sum_{m_1=0}^{M_{max}} \sum_{n_1=1}^{N_{max}} C_{m_1 n_1}^{TE_{jl}} \left[\left(\frac{x}{a_{01}}\right)^{\gamma_1} + \left(\frac{y}{b_{01}}\right)^{\gamma_1} - 1 \right] \cos\left(\frac{m_1 \pi x}{2a_1}\right) \operatorname{sen}\left(\frac{n_1 \pi y}{2b_1}\right) e^{-j\beta_{jl}^{TM} z} \quad (4.16b)$$

M_{max} e N_{max} , são os valores máximos dos índices m_1 e n_1 , respectivamente; γ_1 é o parâmetro γ relativo ao primeiro guia (seção S_I). $\beta_{jl}^{TE} = \sqrt{\omega^2 \mu_0 \varepsilon_0 - k_{cTE_{jl}}^2}$ e $\beta_{jl}^{TM} = \sqrt{\omega^2 \mu_0 \varepsilon_0 - k_{cTM_{jl}}^2}$, sendo ω a frequência angular em rad/s; μ_0 e ε_0 são a permeabilidade e permissividade do vácuo, respectivamente.

Os números de onda de corte dos modos TE (TM), $k_{cTE_{jl}}$ ($k_{cTM_{jl}}$), e os coeficientes $C_{m_1 n_1}^{TE_{jl}}$ e $C_{m_1 n_1}^{TM_{jl}}$, são obtidos através do método de Rayleigh-Ritz (Capítulo 3). Observa-se que o índice j corresponde ao par ordenado (m_1, n_1) .

A partir das equações (4.16a) e (4.16b), de acordo com [23], obtém-se as componentes dos campos modais transversais na região I.

- Modos TE

$$e_{x_{jl}}^{TE} = -\frac{\partial \psi_{jl}^{TE}}{\partial y} \quad (4.17a)$$

$$e_{y_{jl}}^{TE} = \frac{\partial \psi_{jl}^{TE}}{\partial x} \quad (4.17b)$$

$$h_{x_{jl}}^{TE} = \left(-\frac{\beta_{jl}^{TE}}{\omega \mu_0} \right) e_{y_{jl}}^{TE} \quad (4.17c)$$

$$h_{y_{jl}}^{TE} = \left(\frac{\beta_{jl}^{TE}}{\omega \mu_0} \right) e_{x_{jl}}^{TE} \quad (4.17d)$$

Substituindo-se a expressão de ψ_{jl}^{TE} dada em (4.16a) nas equações (4.17a) e (4.17b), e efetuando-se as diferenciações indicadas, obtém-se o seguinte conjunto de equações:

$$e_{x_{jl}}^{TE} = \sum_{m_1=1}^{M_{max}} \sum_{n_1=0}^{N_{max}} C_{m_1 n_1}^{TE_{jl}} \left(\frac{n_1 \pi}{2b_1} \right) \text{sen} \left(\frac{m_1 \pi x}{2a_1} \right) \text{sen} \left(\frac{n_1 \pi y}{2b_1} \right) e^{-j\beta_{jl}^{TE} z} \quad (4.18a)$$

$$e_{y_{jl}}^{TE} = \sum_{m_1=1}^{M_{max}} \sum_{n_1=0}^{N_{max}} C_{m_1 n_1}^{TE_{jl}} \left(\frac{m_1 \pi}{2a_1} \right) \cos \left(\frac{m_1 \pi x}{2a_1} \right) \cos \left(\frac{n_1 \pi y}{2b_1} \right) e^{-j\beta_{jl}^{TE} z} \quad (4.18b)$$

$$h_{x_{jl}}^{TE} = \left(-\frac{\beta_{jl}^{TE}}{\omega \mu_0} \right) \sum_{m_1=1}^{M_{max}} \sum_{n_1=0}^{N_{max}} C_{m_1 n_1}^{TE_{jl}} \left(\frac{m_1 \pi}{2a_1} \right) \cos \left(\frac{m_1 \pi x}{2a_1} \right) \cos \left(\frac{n_1 \pi y}{2b_1} \right) e^{-j\beta_{jl}^{TE} z} \quad (4.18c)$$

$$h_{y_{jl}}^{TE} = \left(\frac{\beta_{jl}^{TE}}{\omega \mu_0} \right) \sum_{m_1=1}^{M_{max}} \sum_{n_1=0}^{N_{max}} C_{m_1 n_1}^{TE_{jl}} \left(\frac{n_1 \pi}{2b_1} \right) \text{sen} \left(\frac{m_1 \pi x}{2a_1} \right) \text{sen} \left(\frac{n_1 \pi y}{2b_1} \right) e^{-j\beta_{jl}^{TE} z} \quad (4.18d)$$

- Modos TM

$$e_{x_{jl}}^{TM} = \frac{1}{j\omega\epsilon_0} \frac{\partial^2 \psi_{jl}^{TM}}{\partial x \partial z} \quad (4.19a)$$

$$e_{y_{jl}}^{TM} = \frac{1}{j\omega\epsilon_0} \frac{\partial^2 \psi_{jl}^{TM}}{\partial y \partial z} \quad (4.19b)$$

$$h_{x_{jl}}^{TM} = \left(-\frac{\omega\epsilon_0}{\beta_{jl}^{TM}} \right) e_{y_{jl}}^{TM} \quad (4.19c)$$

$$h_{y_{jl}}^{TM} = \left(\frac{\omega\epsilon_0}{\beta_{jl}^{TM}} \right) e_{x_{jl}}^{TM} \quad (4.19d)$$

Substituindo-se a expressão de ψ_{jl}^{TM} dada em (4.16b) nas equações (4.19a) e (4.19b), e efetuando-se as diferenciações indicadas, obtém-se o seguinte conjunto de equações:

$$e_{x_{jl}}^{TM} = \left(\frac{\beta_{jl}^{TM}}{\omega\epsilon_0} \right) \sum_{m_1=0}^{M_{max}} \sum_{n_1=1}^{N_{max}} C_{m_1 n_1}^{TM_{jl}} \left\{ \frac{\gamma_1}{a_{01}} \left(\frac{x}{a_{01}} \right)^{\gamma_1-1} \cos\left(\frac{m_1 \pi x}{2a_1} \right) \operatorname{sen}\left(\frac{n_1 \pi y}{2b_1} \right) - \right. \\ \left. - \left(\frac{m_1 \pi}{2a_1} \right) \left[\left(\frac{x}{a_{01}} \right)^{\gamma_1} + \left(\frac{y}{b_{01}} \right)^{\gamma_1} - 1 \right] \operatorname{sen}\left(\frac{m_1 \pi x}{2a_1} \right) \operatorname{sen}\left(\frac{n_1 \pi y}{2b_1} \right) \right\} e^{-j\beta_{jl}^{TM} z} \quad (4.20a)$$

$$e_{y_{jl}}^{TM} = \left(-\frac{\beta_{jl}^{TM}}{\omega\epsilon_0} \right) \sum_{m_1=0}^{M_{max}} \sum_{n_1=1}^{N_{max}} C_{m_1 n_1}^{TM_{jl}} \left\{ \frac{\gamma_1}{b_{01}} \left(\frac{y}{b_{01}} \right)^{\gamma_1-1} \cos\left(\frac{m_1 \pi x}{2a_1} \right) \operatorname{sen}\left(\frac{n_1 \pi y}{2b_1} \right) + \right. \\ \left. + \left(\frac{n_1 \pi}{2b_1} \right) \left[\left(\frac{x}{a_{01}} \right)^{\gamma_1} + \left(\frac{y}{b_{01}} \right)^{\gamma_1} - 1 \right] \cos\left(\frac{m_1 \pi x}{2a_1} \right) \cos\left(\frac{n_1 \pi y}{2b_1} \right) \right\} e^{-j\beta_{jl}^{TM} z} \quad (4.20b)$$

$$h_{x_{jl}}^{TM} = \sum_{m_1=0}^{M_{max}} \sum_{n_1=1}^{N_{max}} C_{m_1 n_1}^{TM_{jl}} \left\{ \frac{\gamma_1}{b_{01}} \left(\frac{y}{b_{01}} \right)^{\gamma_1-1} \cos\left(\frac{m_1 \pi x}{2a_1} \right) \operatorname{sen}\left(\frac{n_1 \pi y}{2b_1} \right) + \right. \\ \left. + \left(\frac{n_1 \pi}{2b_1} \right) \left[\left(\frac{x}{a_{01}} \right)^{\gamma_1} + \left(\frac{y}{b_{01}} \right)^{\gamma_1} - 1 \right] \cos\left(\frac{m_1 \pi x}{2a_1} \right) \cos\left(\frac{n_1 \pi y}{2b_1} \right) \right\} e^{-j\beta_{jl}^{TM} z} \quad (4.20c)$$

$$h_{yjl}^{TM} = \sum_{m=0}^{M_{max}} \sum_{n=1}^{N_{max}} C_{m_1 n_1}^{TM_{jl}} \left\{ \frac{\gamma_1}{a_{01}} \left(\frac{x}{a_{01}} \right)^{\gamma_1-1} \cos\left(\frac{m_1 \pi x}{2a_1}\right) \sin\left(\frac{n_1 \pi y}{2b_1}\right) - \left(\frac{m_1 \pi}{2a_1}\right) \left[\left(\frac{x}{a_{01}}\right)^{\gamma_1} + \left(\frac{y}{b_{01}}\right)^{\gamma_1} - 1 \right] \sin\left(\frac{m_1 \pi x}{2a_1}\right) \sin\left(\frac{n_1 \pi y}{2b_1}\right) \right\} e^{-j\beta_{jl}^{TM} z} \quad (4.20d)$$

Para a região II, segue-se o mesmo procedimento realizado para a região I, levando-se em consideração as dimensões do segundo guia, conforme ilustrado na figura 4.2.

O cálculo dos elementos das matrizes $[R]$, $[Q]$ e $[P]$ será apresentado a seguir.

4.2.2. Cálculo dos Elementos da Matriz $[R]$

A integração descrita na equação (4.11) é realizada na região à esquerda da descontinuidade, guia I, e envolve os campos elétrico e magnético da região I, seção S_I , conforme mostrado na figura 4.2.

- Modos TE

De acordo com a equação (4.11):

$$r_{jj}^{TE} = \int_{S_I} \vec{e}_{jl}^{TE} \times \vec{h}_{jl}^{TE} \cdot d\vec{s} \quad (4.21)$$

que pode ser reescrita como [22]:

$$r_{jj}^{TE} = \frac{\beta_{jl}^{TE} k_{cTE_{jl}}^2}{\omega \mu_0} \int_{S_I} \psi_{jl}^{TE^2} ds \quad (4.22)$$

Substituindo-se em (4.22) a expressão de ψ_{jl}^{TE} dada em (4.16a), resulta:

$$r_{jj}^{TE} = \frac{\beta_{jl}^{TE} k_{cTE_{jl}}^2}{\omega \mu_0} \sum_{m_1 n_1} \sum_{m_2 n_2} C_{m_1 n_1}^{TE_{jl}} C_{m_2 n_2}^{TE_{jl}} \int_{x=0}^{a_{01}} \text{sen}\left(\frac{m_1 \pi x}{2a_1}\right) \text{sen}\left(\frac{m_2 \pi x}{2a_1}\right) \cdot \int_{y=0}^{f_I(x)} \cos\left(\frac{n_1 \pi y}{2b_1}\right) \cos\left(\frac{n_2 \pi y}{2b_1}\right) dy dx \quad (4.23)$$

onde $f_I(x) = b_{01} \left[1 - (x/a_{01})^{\gamma_1}\right]^{1/\gamma_1}$.

- Modos TM

$$r_{jj}^{TM} = \int_{S_I} \vec{e}_{jl}^{TM} \times \vec{h}_{jl}^{TM} \cdot d\vec{s} = \frac{\beta_{jl}^{TM} k_{cTM_{jl}}^2}{\omega \epsilon_0} \int_{S_I} \psi_{jl}^{TM^2} ds \quad (4.24)$$

Substituindo-se em (4.24) a expressão de ψ_{jl}^{TM} dada em (4.16b), resulta:

$$r_{jj}^{TM} = \frac{\beta_{jl}^{TM} k_{cTM_{jl}}^2}{\omega \mu_0} \sum_{m_1 n_1} \sum_{m_2 n_2} C_{m_1 n_1}^{TM_{jl}} C_{m_2 n_2}^{TM_{jl}} \int_{x=0}^{a_{01}} \cos\left(\frac{m_1 \pi x}{2a_1}\right) \cos\left(\frac{m_2 \pi x}{2a_1}\right) \cdot \int_{y=0}^{f_I(x)} \left[\left(\frac{x}{a_{01}}\right)^{\gamma_1} + \left(\frac{y}{b_{01}}\right)^{\gamma_1} - 1 \right]^2 \text{sen}\left(\frac{n_1 \pi y}{2b_1}\right) \text{sen}\left(\frac{n_2 \pi y}{2b_1}\right) dy dx \quad (4.25)$$

4.2.3. Cálculo dos Elementos da Matriz [Q]

De forma análoga a efetuada para o cálculo da matriz [R], com mudanças apenas nas dimensões do guia, tem-se:

- Modos TE

$$q_{ii}^{TE} = \frac{\beta_{iII}^{TE} k_{cTE_{iII}}^2}{\omega \mu_0} \sum_{m_1 n_1} \sum_{m_2 n_2} C_{m_1 n_1}^{TE_{iII}} C_{m_2 n_2}^{TE_{iII}} \int_{x=0}^{a_{02}} \text{sen}\left(\frac{m_1 \pi x}{2a_2}\right) \text{sen}\left(\frac{m_2 \pi x}{2a_2}\right) \cdot \int_{y=0}^{f_{II}(x)} \cos\left(\frac{n_1 \pi y}{2b_2}\right) \cos\left(\frac{n_2 \pi y}{2b_2}\right) dy dx \quad (4.26)$$

onde $f_{II}(x) = b_{02} \left[1 - (x/a_{02})^{\gamma_2} \right]^{1/\gamma_2}$, sendo γ_2 o parâmetro γ relativo ao segundo guia (seção S_{II}).

- Modos TM

$$q_{ii}^{TM} = \frac{\beta_{iII}^{TM} k_{cTM_{iII}}^2}{\omega \mu_0} \sum_{m_1 n_1} \sum_{m_2 n_2} C_{m_1 n_1}^{TM_{iII}} C_{m_2 n_2}^{TM_{iII}} \int_{x=0}^{a_{02}} \cos\left(\frac{m_1 \pi x}{2a_2}\right) \cos\left(\frac{m_2 \pi x}{2a_2}\right) \cdot \int_{y=0}^{f_{II}(x)} \left[\left(\frac{x}{a_{02}}\right)^{\gamma_2} + \left(\frac{y}{b_{02}}\right)^{\gamma_2} - 1 \right]^2 \sin\left(\frac{n_1 \pi y}{2b_2}\right) \sin\left(\frac{n_2 \pi y}{2b_2}\right) dy dx \quad (4.27)$$

4.2.4. Cálculo dos Elementos da Matriz $[P]$

A integração descrita na equação (4.8) é realizada na região à esquerda da descontinuidade, guia I, e envolve o campo elétrico da região I, seção S_I , e o campo magnético da região II, seção S_{II} , conforme mostrado na figura 4.2.

- Para modos TE no primeiro guia e modos TE no segundo guia

De acordo com a equação (4.8), os elementos p_{ij} são dados por:

$$p_{ij}^{TE/TE} = \int_{S_I} \vec{e}_{jI}^{TE} \times \vec{h}_{iII}^{TE} \cdot d\vec{s} \quad (4.28)$$

Para os modos TE, os campos elétrico e magnético transversais podem ser expressos como [22]:

$$\vec{H}_T = -\frac{\beta}{\omega \mu_0} \nabla_T \psi_T^{TE} \quad (4.29a)$$

$$\vec{E}_T = -\frac{\omega \mu_0}{\beta} \vec{a}_z \times \vec{H}_T = \vec{a}_z \times \nabla_T \psi_T^{TE} \quad (4.29b)$$

Substituindo-se (4.29a) e (4.29b) em (4.28), obtém-se:

$$p_{ij}^{TE/TE} = -\frac{\beta_{iii}^{TE}}{\omega\mu_0} \int_{S_I} \left[(\vec{a}_z \times \nabla_T \psi_{T_{ji}}^{TE}) \times \nabla_T \psi_{T_{iii}}^{TE} \right] \cdot \vec{a}_z ds \quad (4.30)$$

Aplicando-se a propriedade vetorial $\vec{A} \times \vec{B} \cdot \vec{C} = \vec{B}(\vec{A} \cdot \vec{C}) - \vec{C}(\vec{A} \cdot \vec{B})$ na equação (4.30), resulta:

$$p_{ij}^{TE/TE} = \frac{\beta_{iii}^{TE}}{\omega\mu_0} \int_{S_I} \left[\vec{a}_z (\nabla_T \psi_{T_{ji}}^{TE} \cdot \nabla_T \psi_{T_{iii}}^{TE}) - \nabla_T \psi_{T_{ji}}^{TE} (\vec{a}_z \cdot \nabla_T \psi_{T_{iii}}^{TE}) \right] \cdot \vec{a}_z ds \quad (4.31)$$

A segunda parcela da integral é nula, e a equação (4.31) é reduzida a seguinte expressão:

$$p_{ij}^{TE/TE} = -\frac{\beta_{iii}^{TE}}{\omega\mu_0} \int_{S_I} \nabla_T \psi_{T_{ji}}^{TE} \cdot \nabla_T \psi_{T_{iii}}^{TE} ds \quad (4.32)$$

Da primeira identidade de Green [23], tem-se:

$$\int_S \nabla_T \psi_{T_{ji}}^{TE} \cdot \nabla_T \psi_{T_{iii}}^{TE} ds = - \int_S \psi_{T_{iii}}^{TE} \nabla^2 \psi_{T_{ji}}^{TE} ds + \oint_C \psi_{T_{iii}}^{TE} \frac{\partial \psi_{T_{ji}}^{TE}}{\partial n} ds \quad (4.33)$$

As condições de contorno do problema impõem que $\frac{\partial \psi_{T_{ji}}^{TE}}{\partial n} = 0$. Combinando-se as equações (4.33) e (4.32), resulta:

$$p_{ij}^{TE/TE} = -\frac{\beta_{iii}^{TE}}{\omega\mu_0} \int_{S_I} \psi_{T_{iii}}^{TE} \nabla^2 \psi_{T_{ji}}^{TE} dx dy \quad (4.34)$$

mas $\nabla^2 \psi_{T_{ji}}^{TE} + k_{cTE_{ji}}^2 \psi_{T_{ji}}^{TE} = 0$ e, em conseqüência, a equação (4.34) assume a seguinte forma:

$$p_{ij}^{TE/TE} = \frac{\beta_{ill}^{TE} k_{cTE_{jl}}^2}{\omega \mu_0} \int_{S_I} \psi_{T_{ill}}^{TE} \psi_{T_{jl}}^{TE} dx dy \quad (4.35)$$

Substituindo-se a expressão do potencial dada em (4.16a) em (4.35), levando-se em consideração as dimensões do guia, obtém-se:

$$p_{ij}^{TE/TE} = \frac{\beta_{ill}^{TE} k_{cTE_{jl}}^2}{\omega \mu_0} \sum_{m_1 n_1} \sum_{m_2 n_2} C_{m_1 n_1}^{TE_{jl}} C_{m_2 n_2}^{TE_{ill}} \int_{x=0}^{a_{01}} \text{sen}\left(\frac{m_1 \pi x}{2a_1}\right) \text{sen}\left(\frac{m_2 \pi x}{2a_2}\right) \cdot \int_{y=0}^{f_I(x)} \cos\left(\frac{n_1 \pi y}{2b_1}\right) \cos\left(\frac{n_2 \pi y}{2b_2}\right) dy dx \quad (4.36)$$

- Para modos TM no primeiro guia e modos TM no segundo guia

Segundo a equação (4.8), os elementos p_{ij} são dados por:

$$p_{ij}^{TM/TM} = \int_{S_I} \vec{e}_{jl}^{TM} \times \vec{h}_{ill}^{TM} \cdot d\vec{s} \quad (4.37)$$

O procedimento para determinação dos elementos $p_{ij}^{TM/TM}$ é análogo ao realizado anteriormente para os elementos $p_{ij}^{TE/TE}$. Dessa forma, obtém-se a seguinte expressão:

$$p_{ij}^{TM/TM} = \frac{\beta_{jl}^{TM} k_{cTM_{ill}}^2}{\omega \epsilon_0} \int_{S_I} \psi_{T_{jl}}^{TM} \psi_{T_{ill}}^{TM} dx dy \quad (4.38)$$

Substituindo-se a expressão do potencial dada em (4.16b) em (4.38), levando-se em consideração as dimensões dos guias, obtém-se:

$$p_{ij}^{TM/TM} = \frac{\beta_{jl}^{TM} k_{cTM_{ill}}^2}{\omega \epsilon_0} \sum_{m_1 n_1} \sum_{m_2 n_2} C_{m_1 n_1}^{TM_{jl}} C_{m_2 n_2}^{TM_{ill}} \int_{x=0}^{a_{01}} \cos\left(\frac{m_1 \pi x}{2a_1}\right) \cos\left(\frac{m_2 \pi x}{2a_2}\right) \cdot \int_{y=0}^{f_I(x)} \left[\left(\frac{x}{a_{01}}\right)^{\gamma_1} + \left(\frac{y}{b_{01}}\right)^{\gamma_1} - 1 \right] \left[\left(\frac{x}{a_{02}}\right)^{\gamma_2} + \left(\frac{y}{b_{02}}\right)^{\gamma_2} - 1 \right] \text{sen}\left(\frac{n_1 \pi y}{2b_1}\right) \text{sen}\left(\frac{n_2 \pi y}{2b_2}\right) dy dx \quad (4.39)$$

- Para modos TE no primeiro guia e modos TM no segundo guia

De acordo com a equação (4.8), os elementos p_{ij} são dados por:

$$p_{ij}^{TE/TM} = \int_{S_I} \vec{e}_{ji}^{TE} \times \vec{h}_{ill}^{TM} \cdot d\vec{s} = \int_{S_I} (e_{x_{ji}}^{TE} h_{y_{ill}}^{TM} - e_{y_{ji}}^{TE} h_{x_{ill}}^{TM}) dx dy \quad (4.40)$$

Substituindo-se em (4.40) as expressões das componentes transversais dos campos elétrico e magnético dadas no conjunto de equações (4.18) e (4.20), levando-se em consideração as dimensões dos guias, resulta:

$$\begin{aligned} p_{ij}^{TE/TM} = & \sum_{m_1 n_1} \sum_{m_2 n_2} C_{m_1 n_1}^{TE_{ji}} C_{m_2 n_2}^{TM_{ill}} \left\{ \right. \\ & - \left(\frac{n_1 \pi}{2b_1} \right) \left(\frac{\gamma_2}{a_{02}} \right) \int_{x=0}^{a_{01}} \text{sen} \left(\frac{m_1 \pi x}{2a_1} \right) \cos \left(\frac{m_2 \pi x}{2a_2} \right) \left(\frac{x}{a_{02}} \right)^{\gamma_2-1} \int_{y=0}^{f_I(x)} \text{sen} \left(\frac{n_1 \pi y}{2b_1} \right) \text{sen} \left(\frac{n_2 \pi y}{2b_2} \right) dy dx + \\ & + \left(\frac{n_1 \pi}{2b_1} \right) \left(\frac{m_2 \pi}{2a_2} \right) \int_{x=0}^{a_{01}} \text{sen} \left(\frac{m_1 \pi x}{2a_1} \right) \text{sen} \left(\frac{m_2 \pi x}{2a_2} \right) \left[\left(\frac{x}{a_{02}} \right)^{\gamma_2} - 1 \right] \int_{y=0}^{f_I(x)} \text{sen} \left(\frac{n_1 \pi y}{2b_1} \right) \text{sen} \left(\frac{n_2 \pi y}{2b_2} \right) dy dx + \\ & + \left(\frac{n_1 \pi}{2b_1} \right) \left(\frac{m_2 \pi}{2a_2} \right) \int_{x=0}^{a_{01}} \text{sen} \left(\frac{m_1 \pi x}{2a_1} \right) \text{sen} \left(\frac{m_2 \pi x}{2a_2} \right) \int_{y=0}^{f_I(x)} \left(\frac{y}{b_{02}} \right)^{\gamma_2} \text{sen} \left(\frac{n_1 \pi y}{2b_1} \right) \text{sen} \left(\frac{n_2 \pi y}{2b_2} \right) dy dx - \\ & - \left(\frac{m_1 \pi}{2a_1} \right) \left(\frac{\gamma_2}{b_{02}} \right) \int_{x=0}^{a_{01}} \cos \left(\frac{m_1 \pi x}{2a_1} \right) \cos \left(\frac{m_2 \pi x}{2a_2} \right) \int_{y=0}^{f_I(x)} \left(\frac{y}{b_{02}} \right)^{\gamma_2-1} \cos \left(\frac{n_1 \pi y}{2b_1} \right) \text{sen} \left(\frac{n_2 \pi y}{2b_2} \right) dy dx - \\ & - \left(\frac{m_1 \pi}{2a_1} \right) \left(\frac{n_2 \pi}{2b_2} \right) \int_{x=0}^{a_{01}} \left[\left(\frac{x}{a_{02}} \right)^{\gamma_2} - 1 \right] \cos \left(\frac{m_1 \pi x}{2a_1} \right) \cos \left(\frac{m_2 \pi x}{2a_2} \right) \int_{y=0}^{f_I(x)} \cos \left(\frac{n_1 \pi y}{2b_1} \right) \cos \left(\frac{n_2 \pi y}{2b_2} \right) dy dx - \\ & \left. - \left(\frac{m_1 \pi}{2a_1} \right) \left(\frac{n_2 \pi}{2b_2} \right) \int_{x=0}^{a_{01}} \cos \left(\frac{m_1 \pi x}{2a_1} \right) \cos \left(\frac{m_2 \pi x}{2a_2} \right) \int_{y=0}^{f_I(x)} \left(\frac{y}{b_{02}} \right)^{\gamma_2} \cos \left(\frac{n_1 \pi y}{2b_1} \right) \cos \left(\frac{n_2 \pi y}{2b_2} \right) dy dx \right\} \quad (4.41) \end{aligned}$$

- Para modos TM no primeiro guia e modos TE no segundo guia

$$p_{ij}^{TM/TE} = 0 \quad (4.42)$$

No cômputo dos elementos das matrizes [P], [Q] e [R], as integrais em relação a y são efetuadas analiticamente e as integrais em x numericamente.

4.3. Resultados Numéricos

A formulação descrita anteriormente para o cálculo da matriz de espalhamento de descontinuidades entre guias superquadráticos de diferentes seções transversais foi implementada computacionalmente em linguagem FORTRAN.

Como primeira aplicação, considerou-se uma descontinuidade entre dois guias de onda circulares de raios 5 mm e 6 mm, respectivamente. A faixa de frequências considerada é de 20 a 30 GHz, garantindo que apenas o modo TE_{11} se propaga. Considerou-se, em ambos os guias, o número de harmônicos das funções trigonométricas, M_{max} e N_{max} , iguais a 10.

A convergência do método, em função do número de harmônicos das funções de base ($M_{max} = N_{max}$), é mostrada na figura 4.3, onde estão indicados os valores do módulo, em dB, e da fase, em graus, do coeficiente de reflexão na porta I, para o modo fundamental, na frequência de 20 GHz. Observa-se que 20 modos são suficientes para assegurar a convergência dos resultados.

Os valores de $|S_{11}|$ e $|S_{21}|$, para o modo fundamental, em função da frequência, são apresentados nas figuras 4.4 e 4.5, respectivamente. Nestas figuras também estão indicados os valores calculados pela formulação dada em [21], que aplica o método do casamento de modos diretamente a guias circulares. Observa-se que, para valores do $|S_{11}|$ acima de -30 dB, as discrepâncias entre os dois métodos são menores do que 0,8 dB. As figuras 4.6 e 4.7 apresentam o comportamento das fases de S_{11} e S_{21} , respectivamente, para o modo fundamental.

Como segundo exemplo, a transição entre um guia de onda retangular com seção transversal 19,05 mm x 9,525 mm para um guia circular de raio 19,05 mm, foi considerada. A convergência dos resultados, em função do número de modos utilizados, para a frequência de 9 GHz, é mostrada na tabela 4.1.

A figura 4.8 apresenta os valores $|S_{11}|$ e $|S_{21}|$, para o modo fundamental, na faixa de frequências de 8 a 15 GHz. Considerou-se, para o primeiro guia, o número de harmônicos das funções trigonométricas, M_{max} e N_{max} , iguais a 8, e para o segundo guia, 16. Nota-se que os valores computados utilizando o método proposto concordam satisfatoriamente com a solução apresentada em [18],

apontando discrepâncias menores do que 0,4 dB. As fases de S_{11} e S_{21} , para o modo fundamental, são mostradas na figura 4.9.

Como última aplicação, foi calculada a matriz de espalhamento de uma descontinuidade entre um guia de retangular maior para um guia circular menor. As dimensões transversais do guia de onda retangular são $2a = 22,86$ mm e $2b = 10,16$ mm. Foram feitas computações para três valores de raio do guia circular: 2,54 mm, 3,81 mm e 5,08 mm. Na faixa de frequências utilizada, o único modo propagante é o modo fundamental TE_{10} no guia retangular. Todos os modos do guia circular são evanescentes. A convergência dos resultados, em função do número de modos utilizados, para as frequências de 8 GHz e 14 GHz, é mostrada na tabela 4.2.

A susceptância normalizada de uma descontinuidade pode ser determinada a partir de $S_{22_{11}}$:

$$jB = \frac{1 - S_{22_{11}}}{1 + S_{22_{11}}} \quad (4.70)$$

onde B é a susceptância normalizada da descontinuidade e $S_{22_{11}}$ é o elemento de S_{22} correspondente ao primeiro modo.

A figura 4.10 mostra a susceptância normalizada da descontinuidade, B , para três valores de raio do guia circular, em função de a/λ , onde λ é o comprimento de onda. Considerou-se, para o primeiro guia, o número de harmônicos das funções trigonométricas, M_{max} e N_{max} , iguais a 4, e para o segundo guia, 12. Na mesma figura são apresentados os valores obtidos de acordo com a formulação dada em [17]. Verifica-se que as discrepâncias entre os dois métodos são pequenas.

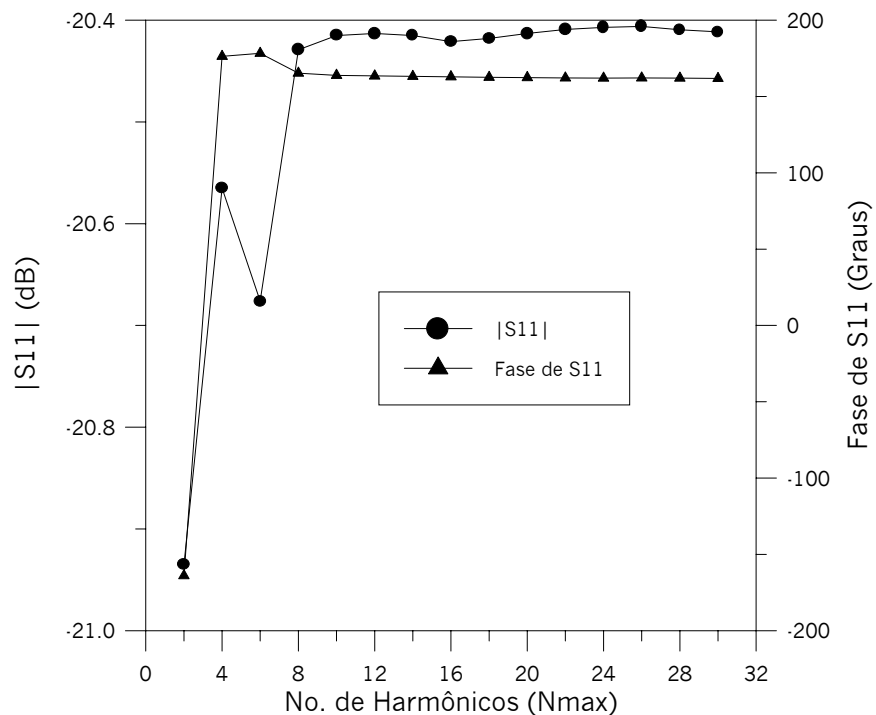


Figura 4.3 – Valores do módulo de S_{11} em dB e da fase em graus, em função do número de harmônicos das funções de base (N_{max}), para uma descontinuidade entre guias de onda circulares. Os raios do primeiro e segundo guia são 5 mm e 6 mm, respectivamente.

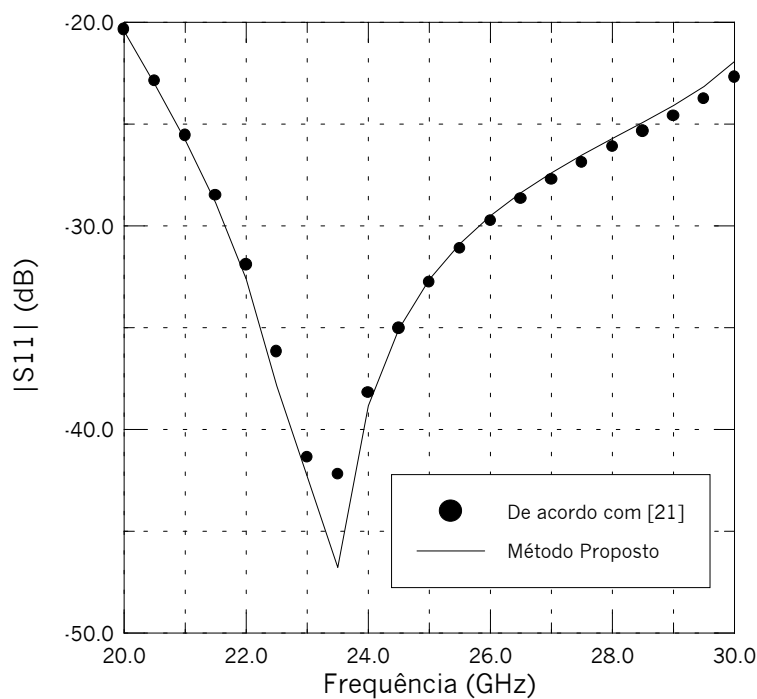


Figura 4.4 – Valores do módulo de S_{11} em dB, em função da frequência em GHz, para uma descontinuidade entre guias de onda circulares. Os raios do primeiro e segundo guia são 5 mm e 6 mm, respectivamente.

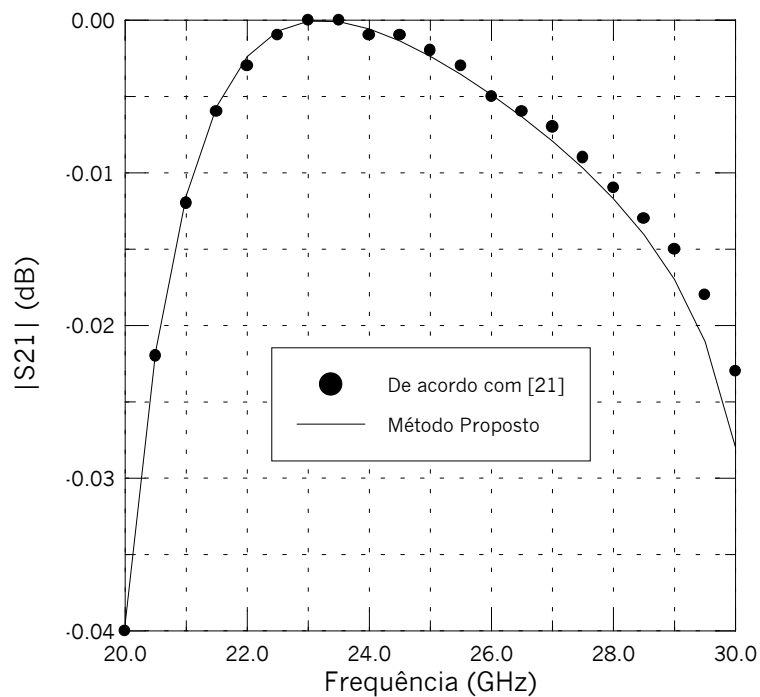


Figura 4.5 – Valores do módulo de $S_{21_{11}}$ em dB, em função da frequência em GHz, para uma descontinuidade entre guias de onda circulares. Os raios do primeiro e segundo guia são 5 mm e 6 mm, respectivamente.

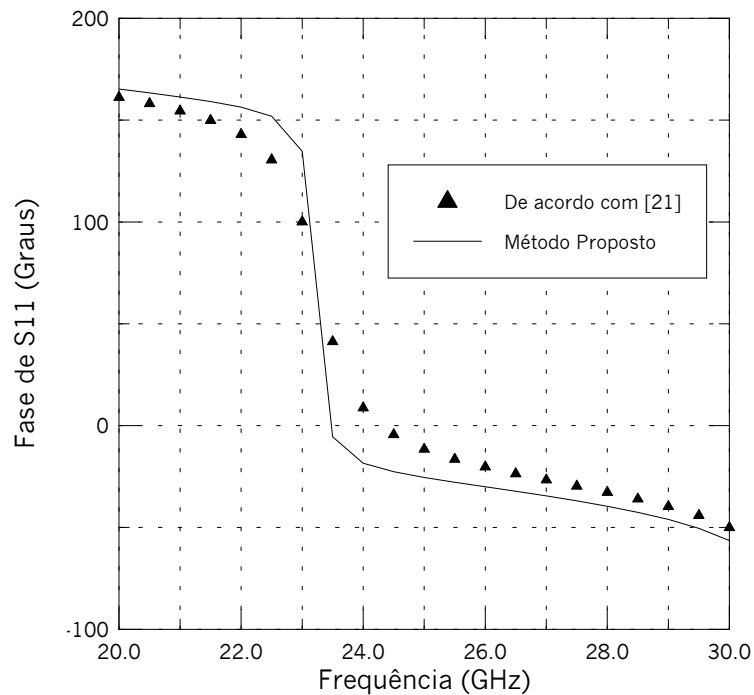


Figura 4.6 – Valores da fase de $S_{11_{11}}$ em graus, em função da frequência em GHz, para uma descontinuidade entre guias de onda circulares. Os raios do primeiro e segundo guia são 5 mm e 6 mm, respectivamente.

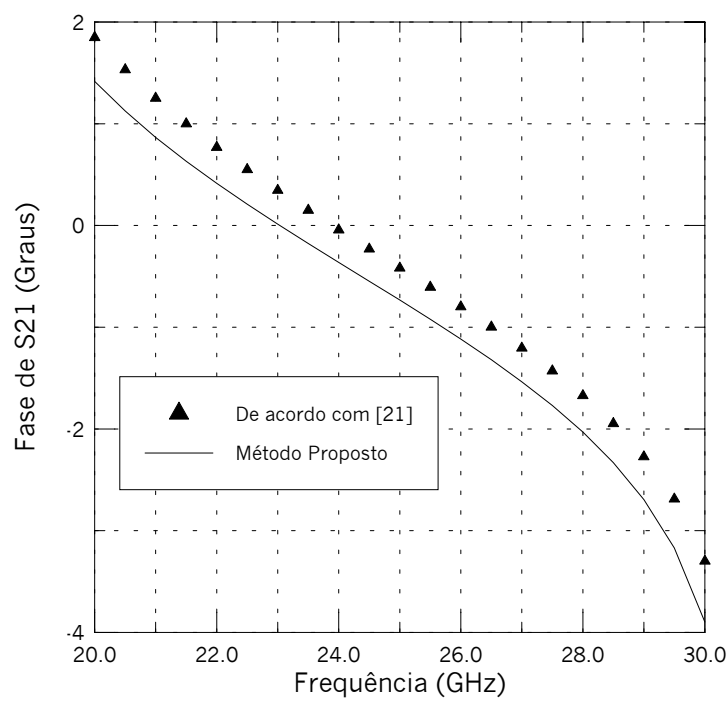


Figura 4.7 – Valores da fase de $S21_{11}$ em graus, em função da frequência em GHz, para uma descontinuidade entre guias de onda circulares. Os raios do primeiro e segundo guia são 5 mm e 6 mm, respectivamente.

| Número de Modos | | | | $S11_{11}$ | $S21_{11}$ |
|-----------------|----|---------------|-----|---------------|--------------|
| Guia Retangular | | Guia Circular | | | |
| TE | TM | TE | TM | | |
| 6 | 4 | 41 | 42 | -0,127-j0,678 | 0,570-j0,446 |
| 9 | 6 | 63 | 64 | -0,137-j0,678 | 0,566-j0,448 |
| 12 | 9 | 87 | 90 | -0,133-j0,678 | 0,568-j0,448 |
| 16 | 12 | 116 | 121 | -0,138-j0,678 | 0,566-j0,449 |
| 20 | 16 | 151 | 156 | -0,136-j0,677 | 0,567-j0,448 |

Tabela 4.1 – Valores de $S11_{11}$ e $S21_{11}$ para uma descontinuidade entre um guia de onda retangular com seção transversal 19,05 mm x 9,525 mm e um guia circular de raio 19,05 mm, em função do número de modos utilizados, na frequência de 9 GHz.

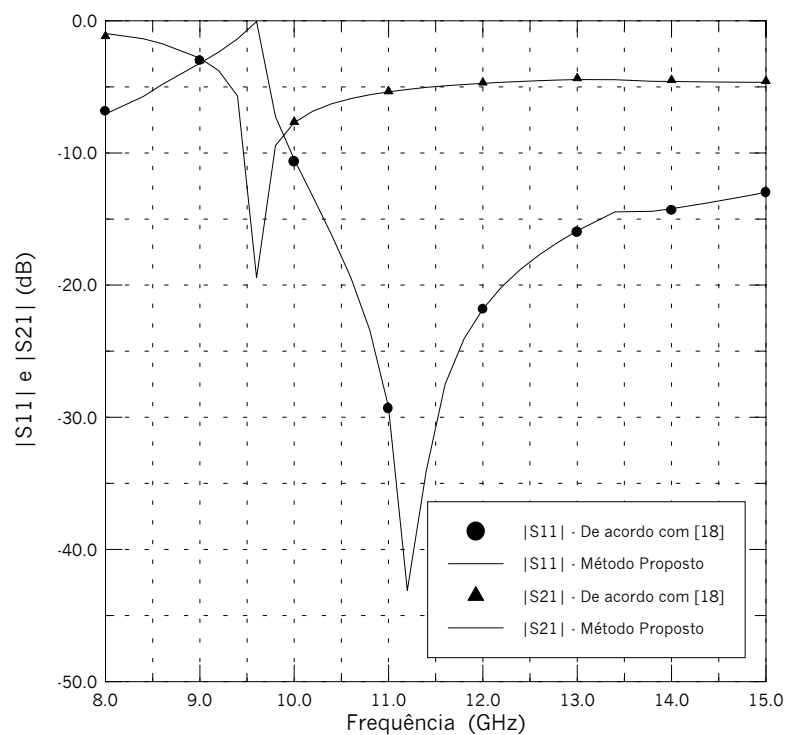


Figura 4.8 – Valores dos módulos de $S_{11_{11}}$ e de $S_{21_{11}}$ em dB, em função da frequência em GHz, para uma descontinuidade entre um guia de onda retangular com seção transversal 19,05 mm x 9,525 mm e um guia circular de raio 19,05 mm.

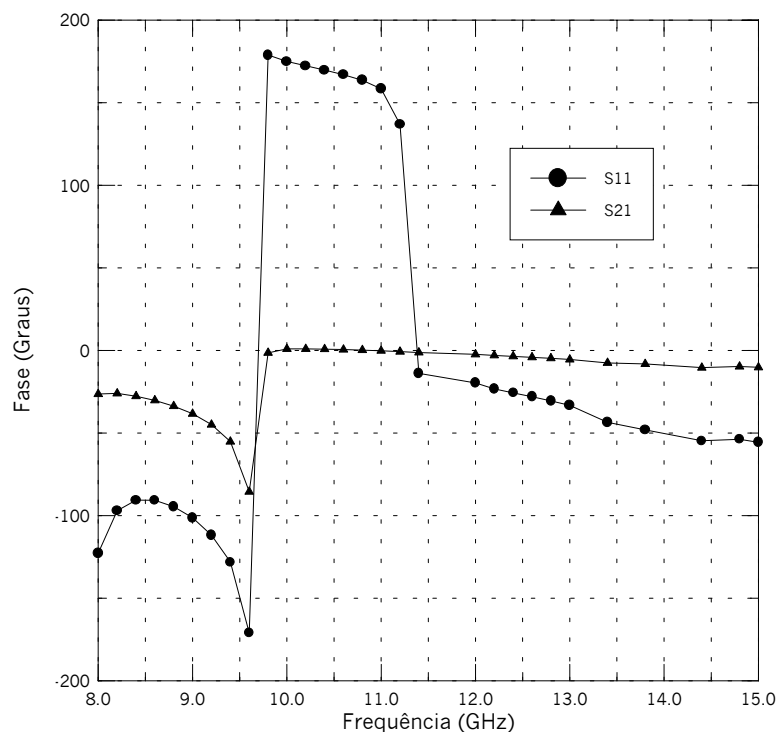


Figura 4.9 – Valores das fases de $S_{11_{11}}$ e de $S_{21_{11}}$ em graus, em função da frequência em GHz, para uma descontinuidade entre um guia de onda retangular com seção transversal 19,05 mm x 9,525 mm e um guia circular de raio 19,05 mm.

| Número de Modos | | | | | |
|-----------------|----|-----------------|-----|------------------------|-------------------------|
| Guia Circular | | Guia Retangular | | $S_{22_{11}}$ em 8 GHz | $S_{22_{11}}$ em 14 GHz |
| TE | TM | TE | TM | | |
| 6 | 6 | 42 | 36 | -1,000+j0,027 | -0,997+j0,080 |
| 9 | 9 | 64 | 56 | -1,000+j0,027 | -0,997+j0,080 |
| 12 | 12 | 90 | 81 | -1,000+j0,027 | -0,997+j0,079 |
| 16 | 16 | 121 | 110 | -1,000+j0,027 | -0,997+j0,079 |
| 20 | 20 | 156 | 144 | -1,000+j0,027 | -0,997+j0,079 |

Tabela 4.2 – Valores de $S_{22_{11}}$ para uma descontinuidade entre um guia de onda circular de raio 2,54 mm e um guia retangular com seção transversal 22,86 mm x 10,16 mm, em função do número de modos utilizados, nas frequências de 8 GHz e 14 GHz.

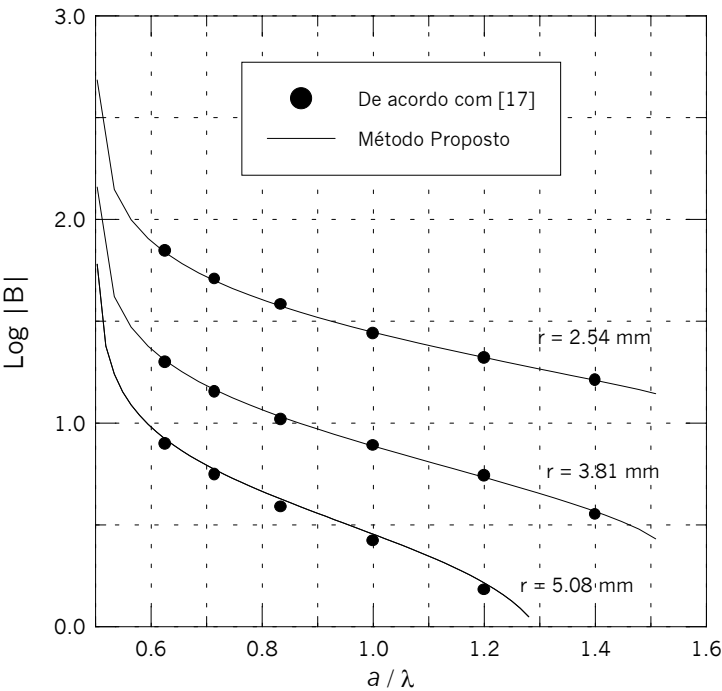


Figura 4.10 – Valores da susceptância de uma descontinuidade entre um guia de onda retangular e um guia circular, em função de a/λ , para três valores de raios, r , do guia circular. As dimensões transversais do guia retangular são: $2a = 22,86$ mm e $2b = 10,16$ mm.